

بررسی خواص جذب ساختارهای تیتانیوم تولید شده به روش پرتو الکترونی در خلاء بالا

نفری قلعه، زهره و ثابت داریانی، رضا

گروه فیزیک، دانشگاه الزهرا، تهران

چکیده

در این مقاله، به بررسی خواص جذب اپتیکی لایه‌های نازک تیتانیوم که به کمک روش گرمادهی پرتو الکترونی در خلاء بالا ساخته شده‌اند، پرداخته می‌شود. این نمونه‌ها بر زیرلايه‌های شیشه و کوارتز نشانده شده‌اند. جذب اپتیکی و ضریب جذب نمونه‌ها بوسیله‌ی اسپکتروفوتومتر اندازه‌گیری شده که با نتایج کارهای انجام شده موافق است. تصاویر SEM و EDX نمونه‌ها نیز بهره گرفته شده است. تصاویر SEM مرحله‌ی هسته‌بنایی نمونه‌ها را نشان می‌دهند.

Study of Absorption Properties in Titanium Structures Produced by Electron Beam in High Vacuum

Z. Nafari Qaleh and R. S. Dariani

Department of Physics, Alzahra University, Tehran

Abstract

In this paper, absorbance properties of Ti thin films made by electron beam evaporation method in high vacuum have been studied. These samples are coated on glass and quartz substrates. Absorbance and absorption coefficients of samples are measured by spectrophotometer that is confirmed by others. Also, SEM and EDX are taken for getting better discussions. The SEM images present the nucleation stage of samples.

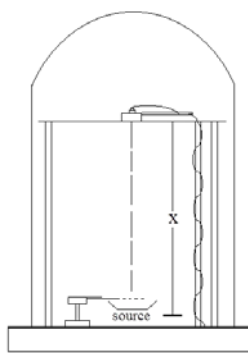
PACS No. 78.20

خواص جالب توجهی می‌باشد. TiO_2 در برابر نور مرئی شفاف بوده و ضریب شکست بالا و جذب کمی دارد، در نتیجه از آن بعنوان یک پوشش اپتیکی استفاده می‌شود [۱]. یک راه ممکن برای بهبود بخشیدن به انتقال الکترون استفاده از نانوسمیم‌ها یا نانوتیوب‌های تک کریستالی به جای لایه‌های متخلخل می‌باشد [۲]. محققان نشان داده‌اند که بیشینه‌ی حرکت پذیری الکترون در TiO_2 متخلخل ۲ مرتبه کمتر از TiO_2 روتایل تک کریستالی می‌باشد [۳]. در این مقاله به چگونگی ساخت و بررسی جذب اپتیکی و ضریب جذب نمونه‌های لایه نازک تیتانیوم که به روش لایه‌نشانی پرتو الکترونی ساخته شده‌اند می‌پردازیم. در ادامه قصد داریم به روش تبیخ حرارتی در کوره، نانوساختارهای دی‌اکسید تیتانیوم بدست آوریم به همین منظور و همچنین گرفتن تصاویر SEM، لایه‌ای از طلا بر نمونه‌ها نشانده شده است.

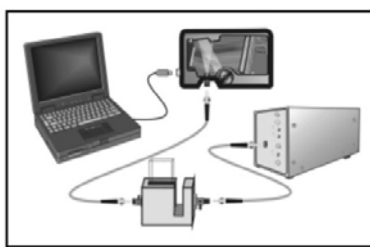
مقدمه

تیتانیوم، فلزی است که به سبب مقاومت زیاد در برابر فرسودگی معروف است. این عنصر، سبک، محکم، قابل ساخت آسان با جرم حجمی پایین ۴۰٪ (همچگال با فولاد) که به شکل خالص کاملاً چکش خوار، آسان برای کار، براق و به رنگ نقره‌ای درخشان می‌باشد. نقطه ذوب نسبتاً زیاد این عنصر، آنرا به یک فلز دیر گذاز مفید تبدیل کرده است. تقریباً ۹۵٪ تیتانیوم به شکل دی‌اکسید تیتانیوم (TiO_2) مصرف می‌شود که در رنگها، کاغذ و پلاستیکها کاربرد وسیعی دارد. رنگهایی که با دی‌اکسید تیتانیوم ساخته می‌شوند، منعکس‌کننده‌های بسیار خوب پرتو مادون قرمز هستند و بنابراین منجمان، بطور گسترده‌ای از آن استفاده می‌کنند. دی‌اکسید تیتانیوم نیمه‌هادی با نوار گاف بزرگ $2/1 \text{ eV}$ به همراه

روش آزمایش



شکل ۱- شماتیک از دستگاه پرتو الکترونی



شکل ۲- نمایی از اسپکتروفوتومتر

در جدول ۱ مشخصات نمونه‌ها دیده می‌شود، در همگی نمونه‌ها ضخامت لایه‌ی $Ti_{1/4}$ ۲۱ نانومتر می‌باشد.

جدول ۱: مشخصات نمونه‌ها

ضخامت طلا (nm)	جنس زیرلایه	شماره نمونه
۲	شیشه	۱
۳	شیشه	۲
۲	کوارتز	۳
۳	کوارتز	۴

نتایج و بحث

اسپکتروفوتومتر اشاره شده، به کمک معادله (۱) جذب اپتیکی نمونه را محاسبه می‌کند که در آن A_{λ} جذب اپتیکی نمونه در طول موج λ شدت نمونه در طول موج λ شدت تاریکی در طول موج λ R_{λ} شدت مرجع در طول موج λ می‌باشد.

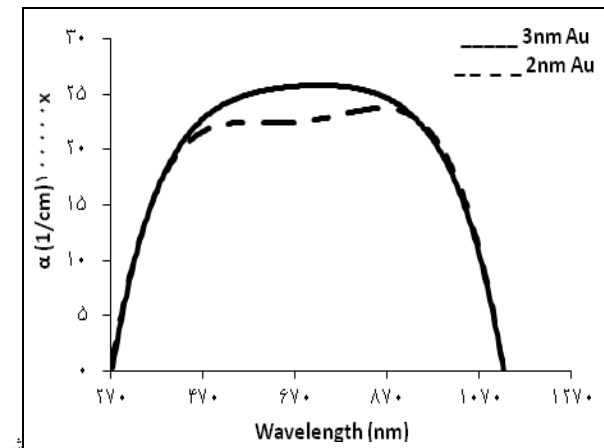
در این پژوهش از شیشه و کوارتز بعنوان زیرلایه استفاده شده است. ابتدا زیرلایه‌ها به ترتیب با ماده‌ی شوینده، استون، اتانول و آب مقطر هر کدام بمدت ۵ دقیقه شسته شدند. سپس لایه‌ای از تیتانیوم به روش پرتو الکترونی در خلاء $3/5 \times 10^{-5}$ mbar بر زیرلایه‌ها نشانده شده است. در این فرآیند آهنگ لایه‌نشانی $2/0$ آنگستروم بر ثانیه و ولتاژ و جریان به ترتیب ۴ kV و ۱۰۰ mA بودند. نحوه کار دستگاه پرتو الکترونی به این صورت می‌باشد: پس از اینکه دستگاه در ولتاژ و جریان مناسب قرار گرفته شد الکترونها بصورت باریکه‌ای خارج می‌گردند، این الکترونها در ابتداء تحت یک میدان الکتریکی شتاب می‌گیرند و سپس از ۴ آهنگیابی نعلی شکل عبور می‌کنند که سبب منحرف شدن آنها در جهت مورد نظر خواهد شد، جهت مناسب، راستایی می‌باشد که در امتداد آن الکترونها بر بوته‌ی از جنس کربن متمنکر شوند، ماده‌ی مورد نظر برای لایه نشانی در این بوته بصورت پودری قرار گرفته است. در ابتدا بایستی جریان را به آهستگی بالا برد تا سبب پخش شدن پودرها نگردد. بعد از برخورد الکترون‌ها با پودرهای تیتانیوم، آن‌ها گرم شده تا به دمای تصعیدشان برسند و در نتیجه سبب منتشر شدن آن‌ها در محیط خلاء شود و سرانجام به سطح زیرلایه برسند. دستگاه استفاده شده برای لایه نشانی دارای مشخصات زیر می‌باشد:

12" Vacuum Coating Unit Model 12A4D HIND HIGH VACUUM CO. India

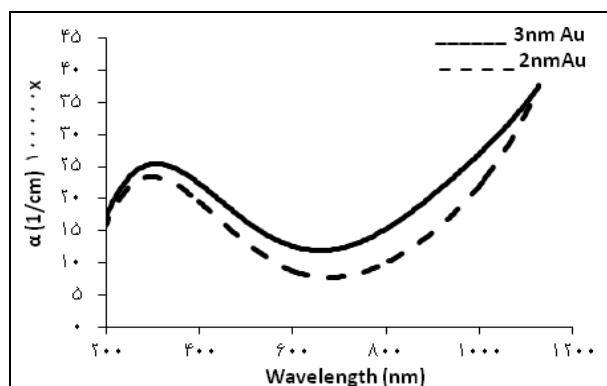
در شکل ۱ شماتیکی از آن دیده می‌شود. بعد از خارج نمودن نمونه‌ها، لایه‌ای از طلا به ضخامت ۲ و ۳ نانومتر بر لایه تیتانیوم به روش کندوپاش، پوشش داده شد. در این مرحله جذب اپتیکی نمونه‌ها به وسیله اسپکتروفوتومتر اندازه‌گیری و ضریب جذب نیز محاسبه شد. مشخصات دستگاه اسپکتروفوتومتر استفاده شده به شرح زیر می‌باشد:

HR4000 CG-UV-NIR high resolution Spectrophotometer Ocean Optics

شکل ۲ نمایی از اسپکتروفوتومتر را نشان می‌دهد.



شکل ۵- ضریب جذب نمونه بر زیرلايه شیشه



شکل ۶- ضریب جذب نمونه بر زیرلايه کوارتر

ضریب جذب نمونه های ۳ و ۴ در بازه $300-700 \text{ nm}$ مانند ضریب جذب کوارتر سیر نزولی و کاهشی دارد [۴]، در حالیکه در طول موج بیش از 700 nm سیر افزایشی پیدا کرده که احتمالاً بدليل غالب بودن سهم طلا و تیتانیوم بر کوارتر می باشد. نمونه های ۱ و ۲ در بازه $300-900 \text{ nm}$ دارای جذب اپتیکی یکساختی می باشد که با مقاله مرجع ۵ مطابقت دارد. تصاویر بدست آمده از نمونه ها در جدول ۲ آورده شده است.

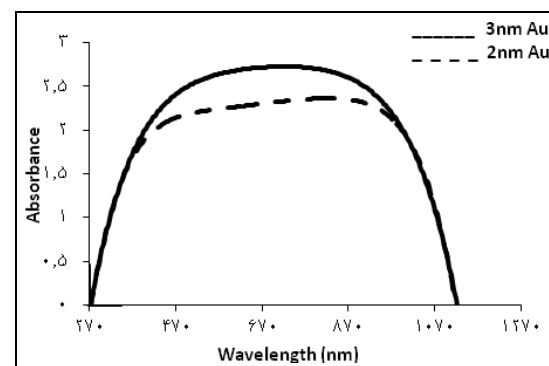
تصاویر SEM (Philips, XL30) نشان می دهند که تیتانیوم بصورت پوسته ای ورقه شده بر زیرلايه ها نشسته اند که احتمالاً بدليل تنش سطحی و شستشوی زیرلايه ها با آب مقصر می باشد. علت تفاوت در شکل و اندازه ای ورقه های نمونه های ۱ و ۲، بانمونه ۴،

$$A_\lambda = -\log_{10} [(S_\lambda - D_\lambda) / (R_\lambda - D_\lambda)] \quad (1)$$

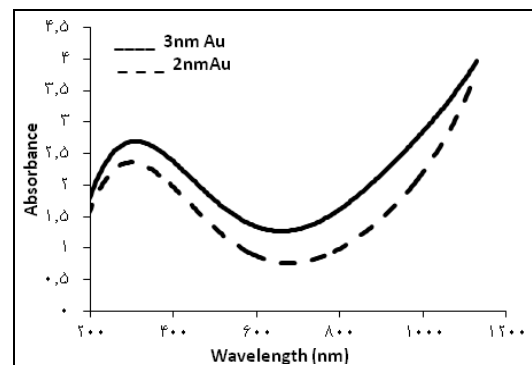
ضریب جذب نمونه ها بوسیله ای معادله محاسبه می شوند، که در آن α ضریب جذب در طول موج λ و d ضخامت نمونه می باشد.

$$\alpha = (-1/d) \ln(A_\lambda) \quad (2)$$

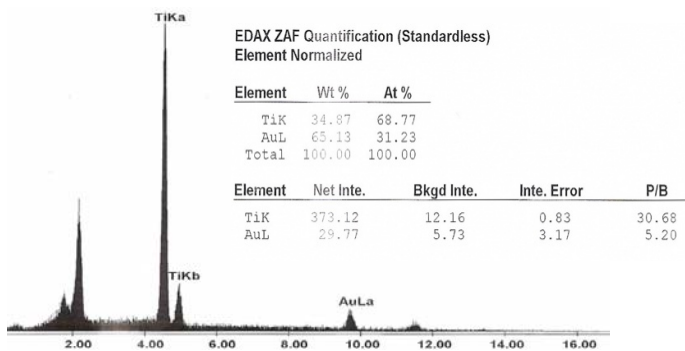
شکل های ۳ الی ۶ جذب اپتیکی و ضریب جذب نمونه های تیتانیوم و طلا بر زیرلايه شیشه و کوارتر را نشان می دهند، با توجه به نمودارها دیده می شود که جذب اپتیکی و به طبع آن ضریب جذب با افزایش ضخامت طلا، افزایش یافته است.



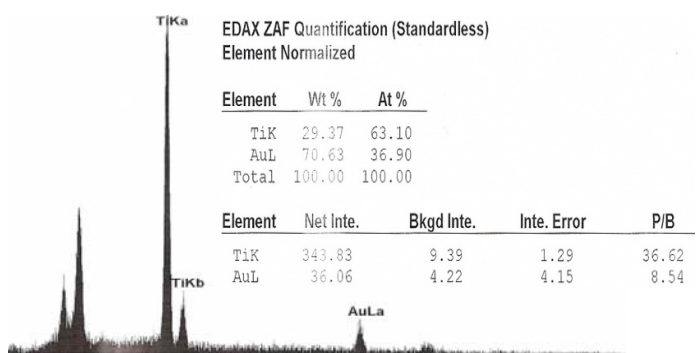
شکل ۳- جذب اپتیکی نمونه بر زیرلايه شیشه



شکل ۴- جذب اپتیکی نمونه بر زیرلايه کوارتر



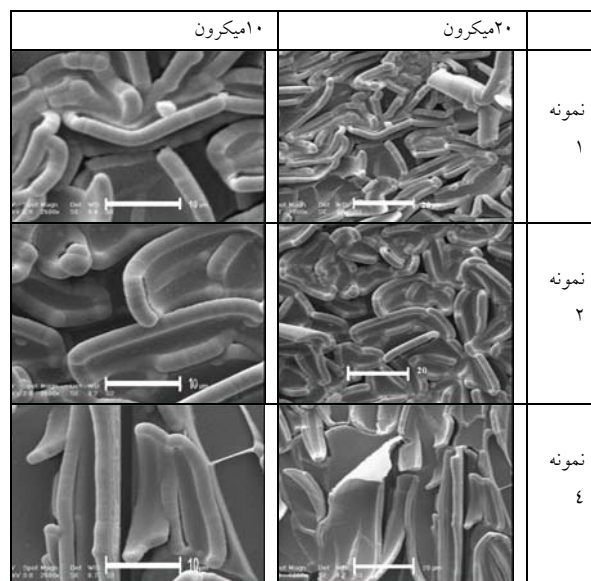
شکل -۸ نمونه ۲



شکل -۹ نمونه ۴

تفاوت در نوع زیرلایه می‌باشد. نمونه ۴ در مقایسه با دو نمونه‌ی دیگر، دارای ورقه‌های بزرگتری است.

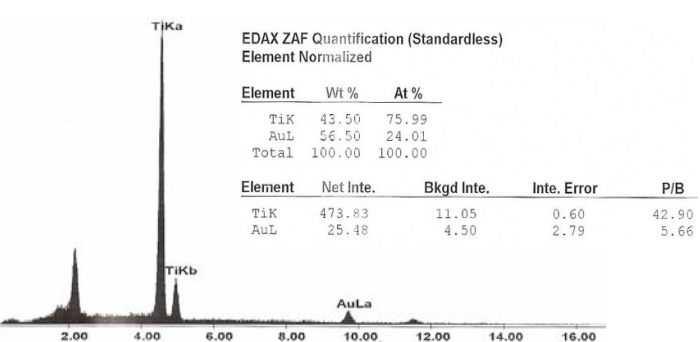
جدول -۲ تصاویر SEM نمونه‌ها



نمونه‌ها در شکل‌های ۷ تا ۹ نشان داده شده است. بدینهی می‌باشد که نمونه‌ی ۱ دارای ۲ nm طلا، در مقایسه با نمونه‌های ۲ و ۴، درصد وزنی طلای کمتری دارد.

مراجع

- [۱] H. Wang, Y. Liu, M. Zhong, H. Xu, H. Huang and H. Shen; "In situ controlled synthesis of various TiO₂ nanostructured materials via a facile hydrothermal route"; *J. Nanopart. Res.*, **13** (2011) 1855-1863.
- [۲] K. Y. Cheung, C. T. Yip, A. B. Djurisic, Y. H. Leung, W. K. Chen; "Long K-Doped Titania and Titanate Nanowires on Ti Foil and Fluorine-Doped Tin Oxide/Quartz Substrates for Solar-Cell Applications"; *Adv. Funct. Mater.*, **17** (2007) 555-562.
- [۳] E. Hendry, M. Koerberg, B. O'Regan and M. Bonn; "Local field effects on electron transport in nanostructured TiO₂ revealed by terahertz spectroscopy" *Nano Lett.*, **6** (2006) 755-759.
- [۴] R. R. Marshal; "Absorption spectra of smoky Quartz from an Arkansas vein deposit and from a sierran miarolitic granite"; *Am. Min.*, **40** (1955) 535-537.
- [۵] M. Singh, S. Srivastava, S. Agarwal, S. Kumar and Y. K. Vijay; "Optical properties of d.c. magneto sputtered tantalum and titanium Nanostructure thin film metal hydrides"; *Bull. Mater. Sci.*, **33** (2010) 569-573.



شکل -۷ نمونه ۱